

青藏高原东北缘柴达木盆地红沟剖面 物源分析及其构造意义

刘康¹⁾, 王伟涛²⁾, 赵旭东¹⁾, 庞建章¹⁾, 俞晶星¹⁾

1) 中国地震局地质研究所, 地震动力学国家重点实验室, 北京, 100029;
2) 中山大学, 地球科学与工程学院, 广州, 510275

内容提要:青藏高原东北缘柴达木盆地红沟剖面发育巨厚的新生代沉积地层, 通过分析其沉积物质来源, 可以揭示柴达木盆地潜在物源区隆升、剥蚀历史, 为高原东北缘新生代构造变形过程提供证据。本文以红沟剖面磁性地层年代框架为约束, 对剖面晚渐新世-上新世的碎屑砂岩样品进行了碎屑锆石物源示踪分析。研究结果表明, 23.7~12.5 Ma 样品的锆石 U-Pb 年龄主要分布在 220~290 Ma, 锆石 $\epsilon_{\text{Hf}}(t)$ 集中在 -13.53~9.27, Hf 同位素 t_{DM} 范围 524~1456 Ma; 大于 300 Ma 的锆石, $\epsilon_{\text{Hf}}(t)$ 介于 -31.77~13.44, 其中 76.3% 为负值, Hf 同位素 t_{DM} 介于 484~3727 Ma。采集自 12.5~7.6 Ma 样品的锆石 U-Pb 年龄主要集中在 400~500 Ma(峰值 ~440 Ma), $\epsilon_{\text{Hf}}(t)$ 值 (-27.75~10.75) 的 90% 为负值, Hf 同位素 t_{DM} 介于 615~2115 Ma 之间。6.8~5.5 Ma 样品的锆石 U-Pb 年龄主要分布在 400~500 Ma, $\epsilon_{\text{Hf}}(t)$ 值 (-26.8~8.97), t_{DMCHD} 介于 668~2093 Ma, 但 220~290 Ma 的锆石显著增加, 其 $\epsilon_{\text{Hf}}(t)$ 值 (-11.86~9.42), Hf 一阶段模式年龄范围 549~1399 Ma。碎屑锆石 Hf 同位素组成对比分析显示红沟剖面 220~290 Ma 的锆石与东昆仑山锆石 Hf 同位素特征相似, 而 400~500 Ma 的锆石则与南祁连山锆石 Hf 同位素组成相似, 揭示东昆仑山在 >24 Ma 开始抬升成为柴达木盆地的源区, ~12 Ma 南祁连山开始隆升, 为柴达木盆地提供碎屑物质, 成为青藏高原东北缘的构造与地貌边界。

关键词:柴达木盆地; 红沟剖面; Hf 同位素特征; 青藏高原东北缘

新生代以来, 印度板块与欧亚板块的碰撞及其持续汇聚作用不仅导致了喜马拉雅造山带的形成, 同时, 也影响了碰撞带以北约 2000 km 宽的地区的强烈变形, 形成“世界屋脊”青藏高原(Molnar et al., 1975; England et al., 1986; Dewey et al., 1988; Tapponnier et al., 2001; Decelles et al., 2002)。青藏高原的强烈隆升及其向北东方向的扩展对于亚洲大陆内部的构造变形、地貌演化、大气环流产生了重大的影响(Li Jijun et al., 1979; Harrison et al., 1992; An Zhisheng et al., 2001; Zhang Peizhen et al., 2001, 2006; Guo Zhengtang et al., 2002)。因此, 青藏高原是研究陆-陆碰撞及其远程效应的天然实验室(Molnar et al., 2009;

Yuan Daoyang et al., 2013)。自上世纪以来, 青藏高原的隆升及其扩展历史一直是地球科学领域研究的核心和热点问题(Harrison et al., 1992; Royden et al., 1997; Fang Xiaomin et al., 1998; Tapponnier et al., 2001; Molnar et al., 2009; Clark, 2012; Botsyun et al., 2019; Valdes et al., 2019)。关于高原的扩展, Tapponnier et al.(2001)通过分析青藏高原内部及周边构造变形, 认为高原沿着大型断裂带以斜向俯冲的方式, 由南向北逐渐扩展, 青藏高原东北缘在中新世-上新世开始变形, 成为高原最新的组成部分。然而, 近期西秦岭低温热年代学与断层泥 Ar-Ar 测年等研究显示高原东北缘与印度-欧亚板块碰撞的同时发生变形, 显示了

注: 本文为重点研发项目(2017YFC1500104); 自然科学基金(41872204, 41590861, 41603054); 地震动力学国家重点实验室基金(LED2017A04)共同资助成果。

收稿日期: 2019-10-31; 改回日期: 2019-12-23; 网络发表日期: 2020-02-21; 责任编委: 刘俊来; 责任编辑: 李曼。

作者简介: 刘康, 1995 年生。中国地震局地质研究所硕士生, 主要从事新生代构造变形与沉积学研究。通讯作者: 王伟涛, 1979 年生。中山大学地球科学与工程学院教授, 主要从事新生代构造变形与沉积学研究。Email: taotaowang@126.com。

引用本文: 刘康, 王伟涛, 赵旭东, 庞建章, 俞晶星. 2020. 青藏高原东北缘柴达木盆地红沟剖面物源分析及其构造意义. 地质学报, 94(3): 716~728. doi: 10.19762/j.cnki.dizhixuebao.2020155.

Liu Kang, Wang Weitao, Zhao Xudong, Pang Jianzhang, Yu Jingxing. 2020. Provenance identification for the Honggou section of the Qaidam basin in the northeastern margin of the Tibetan Plateau and its tectonic significance. Acta Geologica Sinica. 94(3): 716~728.

青藏高原岩石圈新生代以相对恒定的体应变率发生变形(Clark et al., 2010; Duvall et al., 2011; Clack, 2012)。由此可见,青藏高原东北缘新生代构造变形时间及其分布的研究对于理解青藏高原变形机制至关重要。本文试图以青藏高原东北缘柴达木盆地新生代沉积物为研究对象,利用锆石U-Pb, Hf同位素组成等方法揭示柴达木盆地南、北两侧东昆仑山与祁连山的隆升过程,为高原向北东方向的扩展过程提供约束。

柴达木盆地位于东昆仑山以北,祁连山以南,上述山体隆升、风化、剥蚀形成的碎屑物质经河流搬运而堆积在柴达木盆地中,因此柴达木盆地以及充填其中的沉积物记录了新生代东昆仑山、祁连山等山脉构造隆升、变形的信息。柴达木盆地东部的红沟剖面,发育>5 km厚的连续的新生代地层,Wang Weitao et al.(2017)和 Nie Junsheng et al.(2019)以该剖面所发现的原位哺乳动物化石(Li Qiang et al., 2015)为约束,通过磁性地层学获得了红沟剖面的年代框架(25.5~4.8 Ma)。以磁性地层年代为基础,结合沉积学分析,开展碎屑锆石物源示踪研究,揭示它们蕴含的构造变形信息,能够为青藏高原东北部隆升历史和扩展过程提供证据,进而为重建整个高原变形隆升过程及模式提供新线索。

1 研究区地质背景

柴达木盆地是青藏高原东北缘最大新生代沉积盆地(图1),海拔2500~3000 m,面积达 $1.2 \times 10^5 \text{ km}^2$ 。盆地南以东昆仑断裂带为界、西以阿尔金断裂带为界,北以柴达木盆地北缘逆冲褶皱带为界与祁连山相接。柴达木盆地由西向东逐渐变窄呈三角状(图1)。东昆仑造山带以西连接西昆仑造山带,以东接西秦岭造山带,位于青藏高原北部,柴达木盆地南部。东昆仑构造带在古生代至三叠纪时期,发生大面积岩浆作用(Yin An, 2007),广泛分布二叠纪-三叠纪花岗岩体。阿尔金构造带是青藏高原西北部的边界,主体北东东向,发育新元古代-古生代侵入岩。阿尔金构造带由于印度-亚欧大陆的碰撞,在早新生代开始形成(Yin An et al., 2002)。柴北缘逆冲褶皱带位于柴达木盆地北缘与祁连山相连部位,由柴达木地块向北俯冲,与祁连地块陆陆碰撞形成,主要由赛什腾山、喇嘛山、绿梁山和锡铁山等地区组成,发育大量晚古生代-早中生代花岗岩类岩石(Wu Cailai et al., 2004)。祁连山系自北向南包括北祁连、中祁连和南祁连,南祁连为柴

达木盆地的北部界线,以古生代花岗岩体(Gehrels et al., 2003; Chen Xuanhua et al., 2012)为主。

柴达木盆地发育巨厚新生代陆相沉积地层,最大厚度可达15 km(Duran et al., 1998; Zhou Jianxun et al., 2006; Yin An et al., 2008)。根据地层的颜色、岩性、古生物组合特征以及地层接触关系,盆地中的新生代地层自下向上被划分为七个组,分别为路乐河组、下干柴沟组、上干柴沟组、下油砂山组和上油砂山组、狮子沟组以及七个泉组(青海省地层表编写小组, 1983; 青海省地质矿产局, 1991; Sun Zhiming et al., 2005; Fang Xiaomin et al., 2007; Yin An et al., 2008)。

红沟剖面(起点坐标为 $37^{\circ}32'25.2''\text{N}, 95^{\circ}10'5.57''\text{E}$,终点坐标为 $37^{\circ}28'52.7''\text{N}, 95^{\circ}8'5.9''\text{E}$)位于柴达木盆地的北缘逆冲褶皱带中的一个背斜构造上(红沟背斜,图1),背斜北翼缓,南翼陡,甚至倒转。河流由北向南切过红沟背斜,使新生代地层沿背斜南翼完整出露,厚度约5.3 km。红沟背斜的核部为早白垩系犬牙沟组,向南新生代地层不整合于白垩系之上,依次出露路乐河组、下干柴沟组、上干柴沟组、下油砂山组、上油砂山组和狮子沟组地层。红沟剖面除路乐河组与早白垩系犬牙沟组呈不整合接触外,新生代地层各组之间均呈整合接触关系(Ji Junliang et al., 2017; Wang Weitao et al., 2017)。

红沟剖面路乐河组地层厚度约490 m(5310~4820 m,图2)以厚层紫红色砾岩-砂质砾岩-砂岩-含砾粉砂岩组成的多个旋回为特征,单个沉积旋回厚约40~60 m。砾岩与砂岩均呈透镜状,侧向延伸<50 m,层理不发育。其中砾岩、砂质砾岩分选较差、以颗粒支撑为主,底部具有冲刷-充填构造。该组地层向上粒度逐渐变细,具有辫状河河道与河漫滩堆积的特征。

下干柴沟组地层厚度约980 m(4820~3840 m,图2),岩性主要由厚层黄绿色砂岩、粉砂岩,红绿色泥岩组成。单层砂体厚5~40 m,呈透镜状,砂体底部可见河道冲刷-充填构造,发育槽状交错层理和平行层理,粒度向上逐渐变细,可能是曲流河迁移过程中的侧向堆积形成。细粒沉积单层厚2~5 m,发育小型交错层理和平层理。粗粒砂岩的交错层理、底部冲刷-充填构造以及透镜体揭示了岩层在相对高能的水流环境下沉积。含水平层理的细粒岩层在相对静水或者洪泛平原环境下沉积。

上干柴沟组地层厚度约1400 m(3840~2440 m,图2),由厚层红绿色泥岩、淡黄色中细粒砂岩和

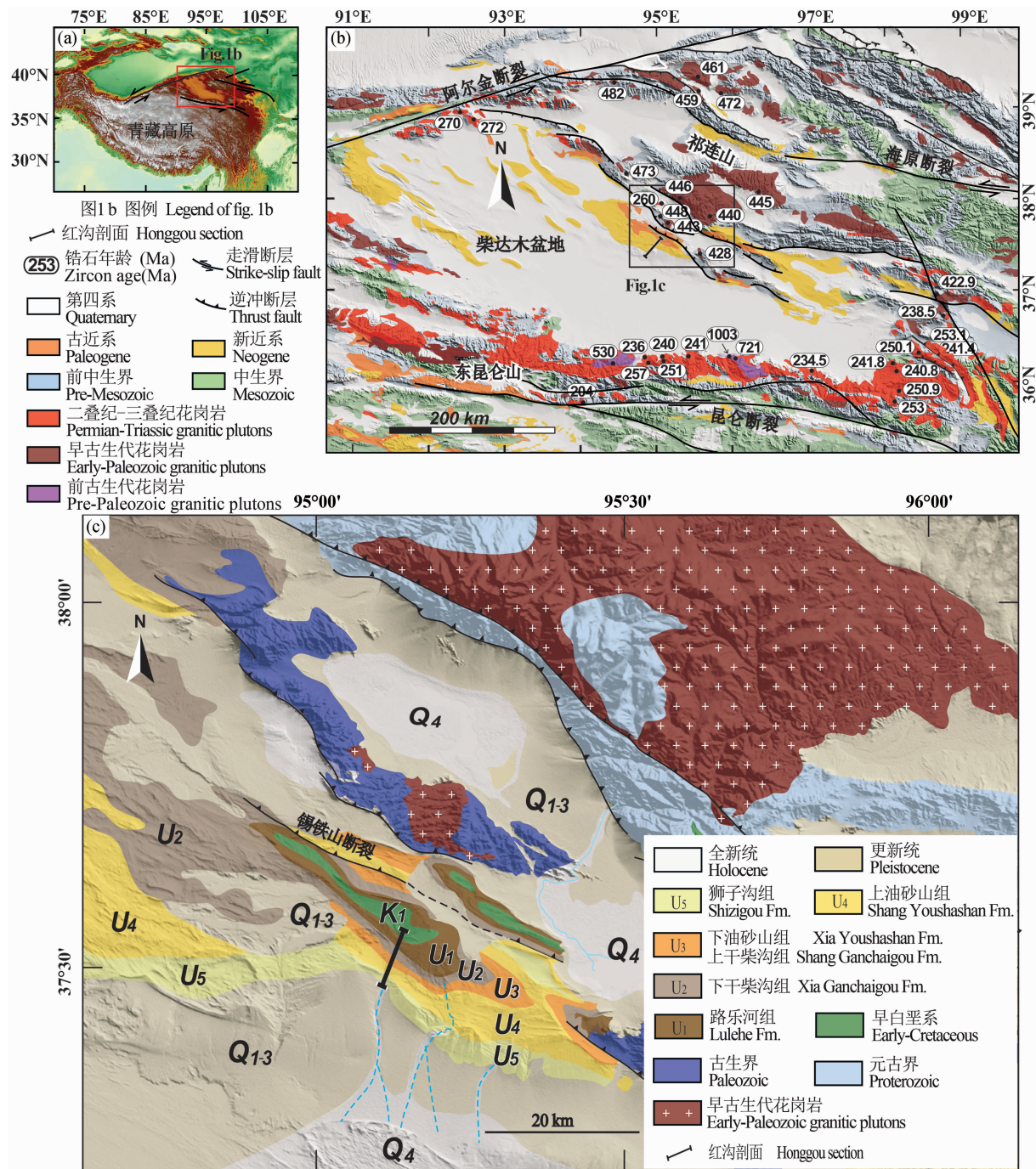


图 1 柴达木盆地红沟剖面及其邻区地质图

Fig. 1 Geological map of Honggou section of Qaidam basin and its adjacent region

薄层灰岩组成。砂岩发育交错层理,平行层理以及少量的波痕。泥岩单层厚2~15 m,侧向延伸>100 m,泥灰岩厚0.1~0.4 m,发育有波痕和水平层理。这些薄层灰岩可能是由于湖面上升形成,厚层泥岩代表了湖相沉积,砂岩层可能是由于河道沉积形成。该组地层具有浅湖相或者三角洲相沉积特征。在上干柴沟组的中部(3158 m)含有大量哺乳动物化石,如 *Mioechinus?* sp., *Monosaulax tungurensis*,

Plesiodipus sp., *Zygolophodon* sp., *Turcocerus* sp., and *Rhinocerotidae* indet 等(Wang Weitao et al., 2017)。

下油砂山组地层厚820 m(2440~1620 m),以浅棕色泥岩粉砂岩为主,夹厚层黄色砂岩和灰色砾岩。泥岩层厚5~75 m,侧向延伸>100 m。发育水平层理,砂岩层中可见平行层理,槽状交错层理,这些厚层泥岩和砂泥岩具有湖相沉积的特征。

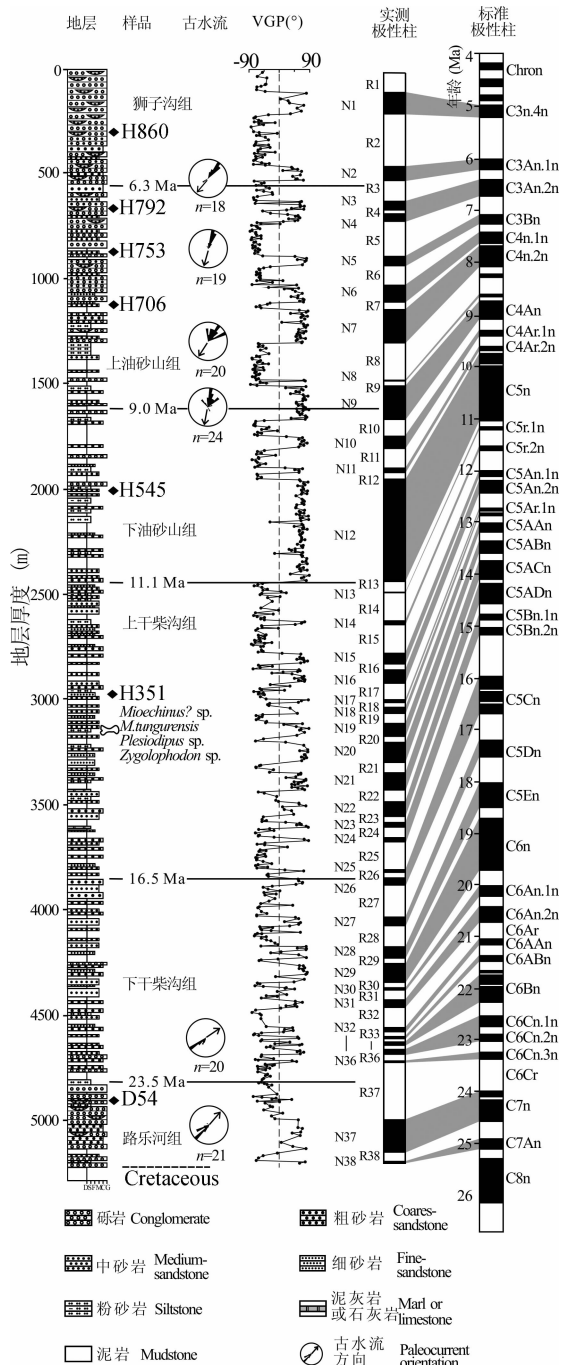


图2 红沟剖面磁性地层与标准极性柱对应关系,古水流方向(Wang Weitao et al., 2017)以及碎屑锆石采样层位
Fig. 2 Magnetostratigraphy of the Honggou section correlated with GPTS, paleocurrent orientation (Wang Weitao et al., 2017) and the detrital zircon sample locations

上油砂山组地层厚 1070 m(1620 ~ 550 m),可分为上、下两部分。下部:碎屑支撑的砾岩,含有厚 0.1~0.3m 厚的砂岩透镜体。上部:以泥岩、含砾砂岩、砾岩为主,分选差,次圆状-棱角状磨圆。下部岩石层理发育,厚层细粒,湖相或者三角洲相沉积。上部砾石层碎屑支撑,砾石呈叠瓦状排列,辫状河

沉积。

狮子沟组地层厚度约 550 m(550 ~ 0 m),主要为中、细砾,碎屑支撑和杂基支撑的砾岩组成,砾石层厚 0.5~18 m,具有透镜体,砾石分选差,次圆状-棱角状磨圆,冲积扇相沉积。

在上干柴沟组哺乳动物化石 *Mioechinus?* sp., *Monosaulax tungurensis*, *Plesiodipus* sp., *Zygodipodon* sp., *Turhocerus* sp., 和 Rhinocerotidae indet 的约束下,磁性地层测年结果显示红沟剖面路乐河组的沉积时代为 25.5~23.5 Ma,下干柴沟组、上干柴沟组、下油砂山组、上油砂山组、狮子沟组的沉积时代分别为:23.5~16.5 Ma、16.5~11.1 Ma、11.1~9.0 Ma、9.0~6.3 Ma、6.3~4.8 Ma(Wang Weitao et al., 2017)。

2 砂岩样品的采集与测试方法

根据红沟剖面的磁性地层时代,沉积环境以及岩性变化,我们在红沟剖面新生代不同的地层层位中采集了 7 个中、粗砂岩样品,每个样品重量大于 5 kg,以便挑选足够的碎屑锆石颗粒进行 Hf 同位素测试分析。7 个样品的编号及沉积年龄分别是 D54 (23.7 Ma), H351 (12.5 Ma), H545 (10.0 Ma), H706 (7.6 Ma), H753 (6.8 Ma), H792 (6.5 Ma), H860 (5.5 Ma)。样品所在剖面中的具体层位见图 2。

首先除去样品表面的松散附着物,将其粉碎;然后采用磁选法除去磁性矿物,剩下的非磁性矿物除去非磁性杂质并选择重液对其进行分选,得到非磁性重矿物,最后在双目显微镜下挑选出锆石颗粒。将分选获得的锆石粘贴固定,并将环氧树脂灌注在空心柱中,驱赶气泡,烘干。随后对其打磨抛光,在显微镜下用透射光和反射光观察锆石的结构与形态,最终利用阴极发光技术获取锆石的内部结构的详细信息(图 3),进行 Hf 同位素的测试。

红沟剖面锆石 U-Pb 年龄结果引用 Wang Weitao et al. (2017),Hf 同位素测试分析在中国科学院地质与地球物理研究所岩石圈演化国家重点实验室完成。我们利用配有 193 nm 激光剥蚀系统的 Neptune 多接收电感耦合等离子体质谱仪(MC-ICP-MS)对锆石 Hf 同位素以及微量元素进行测定,实验流程见 (Wu Fuyuan et al., 2006; Xie Liewen et al., 2008)。每个样品的碎屑锆石测试数量不低于 100 个。

测定¹⁷⁶Lu/¹⁷⁷Hf 和¹⁷⁶Hf/¹⁷⁷Hf 时,要对¹⁷⁶Hf 的两个同质异位素¹⁷⁶Lu 和¹⁷⁶Yb 进行干扰校正。干

扰校正取¹⁷⁵Lu/¹⁷⁶Lu = 0.02669 (Biévre et al., 1993) 和¹⁷²Yb/¹⁷⁶Yb = 0.5886 (Chu Nan-Chin et al., 2002)。红沟剖面锆石具有较高的 Hf 含量和较低的 Lu 含量, 形成以后基本没有累计放射性成因 Hf, 所测定的¹⁷⁶Hf/¹⁷⁷Hf 就代表了其形成时 Hf 同位素的组成 (Wu Fuyuan et al., 2007)。 $\epsilon_{\text{Hf}}(t)$ 参数, 它表示岩石形成时的¹⁷⁶Hf/¹⁷⁷Hf 相对于球粒陨石库 (CHUR) 差异的万分数, 表达式为:

$$\epsilon_{\text{Hf}}(t) = \left[\frac{\left(\frac{^{176}\text{Hf}}{^{177}\text{Hf}} \right)_s - \left(\frac{^{176}\text{Lu}}{^{177}\text{Hf}} \right)_s \times (e^{kt} - 1)}{\left(\frac{^{176}\text{Hf}}{^{177}\text{Hf}} \right)_{\text{CHUR}}^0 - \left(\frac{^{176}\text{Lu}}{^{177}\text{Hf}} \right)_{\text{CHUR}}^0 \times (e^{kt} - 1)} - 1 \right] \times 10000$$

当 $\epsilon_{\text{Hf}}(t)$ 为负值时, 表示岩石来源于亏损地幔; 当 $\epsilon_{\text{Hf}}(t)$ 为正值时, 表示岩石来源于富集地幔或受到地壳物质的混染。

除了 $\epsilon_{\text{Hf}}(t)$ 外, t_{DM} , Hf 相对于亏损地幔的一阶段模式年龄, 也是一个重要的参数。它记录了锆石结晶的岩浆从地幔分离的年龄, 表达式为:

$$t_{\text{DM}} = \frac{1}{\lambda} \times \ln \left[1 + \frac{\left(\frac{^{176}\text{Hf}}{^{177}\text{Hf}} \right)_s - \left(\frac{^{176}\text{Hf}}{^{177}\text{Hf}} \right)_{\text{DM}}}{\left(\frac{^{176}\text{Lu}}{^{177}\text{Hf}} \right)_s - \left(\frac{^{176}\text{Lu}}{^{177}\text{Hf}} \right)_{\text{DM}}} \right]$$

其中, $(^{176}\text{Hf}/^{177}\text{Hf})_s$ 和 $(^{176}\text{Lu}/^{177}\text{Hf})_s$ 为样品测定值, 现今的球粒陨石均一库 $(^{176}\text{Lu}/^{177}\text{Hf})_{\text{CHUR}}^0 = 0.0332$, $(^{176}\text{Hf}/^{177}\text{Hf})_{\text{CHUR}}^0 = 0.282772$ (Blicherttoft et al., 1997); 亏损地幔现今的 $(^{176}\text{Lu}/^{177}\text{Hf})_{\text{DM}} = 0.0384$, $(^{176}\text{Hf}/^{177}\text{Hf})_{\text{DM}} = 0.28325$ (Vervoort et al., 1999); ¹⁷⁶Lu 的衰变系数 $\lambda = 1.867 \times 10^{-11} \text{ a}^{-1}$ (Scherer et al., 2001)。

3 样品的测试结果

红沟剖面锆石 D54、H351、H545、H706、H753、H792、H860 样品中锆石

晶型主要为自形的短、中柱状或者半自形短柱状, 晶型较为完整, 少数锆石由于河流搬运、破碎以及磨圆等外力作用导致自形不规则, 晶型不完整, 呈浑圆状; 粒度介于 60~250 μm 之间。大多数锆石具有明暗相见的条带结构, 与典型的岩浆锆石的振荡环带特征相似, 少数锆石弱分带或者无分带 (图 3)。测试分析结果 Th/U 比值 > 0.4 的锆石占锆石总数的 77%, 仅有 9% 的锆石 Th/U 比值 < 0.1 (附表), 表明红沟剖面中的碎屑锆石大部分是岩浆成因锆石, 仅少量可能为变质成因锆石, 这也和阴极发光图像显示的锆石内部结构一致。

红沟剖面 D54 (23.7 Ma)、H351 (12.5 Ma) 样品锆石 U-Pb 年龄主要集中在 200~300 Ma、400~500 Ma、700~800 Ma、1500~1800 Ma、2200~2400

Ma (图 4a, Wang Weitao et al., 2017)。样品 H545 (10.0 Ma) 和 H706 (7.6 Ma) 具有相似的锆石 U-Pb 年龄分布, 年龄主要集中在 400~500 Ma, 其它锆石年龄则零散的分布在 228~400 Ma、500~1500 Ma、1900~2778 Ma (图 4a, Wang Weitao et al., 2017)。样品 H753 (6.8 Ma)、H792 (6.5 Ma) 和 H860 (5.5 Ma) 的锆石 U-Pb 年龄以出现 ~250 Ma、~440 Ma 和 ~1600 Ma 的年龄峰为主要特征 (Wang Weitao et al., 2017)。

红沟剖面中碎屑¹⁷⁶Lu/¹⁷⁷Hf 的平均值为 0.0009, 96% 以上的锆石¹⁷⁶Lu/¹⁷⁷Hf 的值小于 0.002, 表明锆石形成后由¹⁷⁶Lu 衰变而生成的¹⁷⁶Hf 较少。样品 D54 中锆石的¹⁷⁶Hf/¹⁷⁷Hf 介于 0.281058~0.282894 之间, 依据¹⁷⁶Hf/¹⁷⁷Hf 比值以及对应锆石的 U-Pb 年龄计算可得 Hf 一阶段模式年龄 t_{DM} 分布在 524~2995 Ma 之间, 这些年龄集中分布在三个区间内, 即 850~1100 Ma、1300~1600 Ma、2400~2850 Ma 范围内 (图 4t)。其中 Hf 同位素一阶段模式年龄为 850~1100 Ma 的锆石 $\epsilon_{\text{Hf}}(t)$ 的值分布在 -4.4~4.3; t_{DM} 年龄为 1300~1600 Ma 的锆石 $\epsilon_{\text{Hf}}(t)$ 值为 -13.7~9.4; t_{DM} 年龄为 2400~2850 Ma 的锆石 $\epsilon_{\text{Hf}}(t)$ 值介于 -14.4~1.8。

样品 H351 中锆石的¹⁷⁶Hf/¹⁷⁷Hf 分布范围是 0.280524~0.282905, Hf 同位素一阶段模式年龄计算后得到的范围是 484~3727 Ma, 较为集中分布在三个区间内, 即 850~1100 Ma、1300~1600 Ma、2400~2850 Ma 范围内 (图 4q)。 t_{DM} 年龄为 850~1100 Ma 的锆石 $\epsilon_{\text{Hf}}(t)$ 的值分布在 -4.3~5.4; t_{DM} 年龄为 1300~1600 Ma 的锆石 $\epsilon_{\text{Hf}}(t)$ 值为 -14.2~0.8; t_{DM} 年龄为 2400~2850 Ma 的锆石 $\epsilon_{\text{Hf}}(t)$ 值介于 -12.9~2.5。

H545 样品中的锆石¹⁷⁶Hf/¹⁷⁷Hf 的值介于 0.280618~0.282789 之间, 通过计算获得的一阶段模式年龄范围 675~3591 Ma, 有两个明显的峰值区间: 1300~1600 Ma 和 2200~2800 Ma (图 4n)。两个阶段的 $\epsilon_{\text{Hf}}(t)$ 均为负值, 前者的 $\epsilon_{\text{Hf}}(t)$ 范围是 -11.9~-0.9, 后者 $\epsilon_{\text{Hf}}(t)$ 介于 -9.8~-0.2 之间。

样品 H706 中锆石的¹⁷⁶Hf/¹⁷⁷Hf 的范围为 0.280995~0.282823, 通过计算得到的一阶段模式年龄介于 616~3134 Ma 之间, 集中在 1300~1600 Ma 和 2200~2800 Ma 两个区间 (图 4k)。 t_{DM} 年龄为 1300~1600 Ma 的锆石 $\epsilon_{\text{Hf}}(t)$ 的值分布在 -12.9~-1.1; t_{DM} 年龄为 2200~2800 Ma 的锆石具有较负



图3 青藏高原东北缘红沟剖面代表性锆石阴极发光图像

Fig. 3 Representative images of zircon grains under cathodoluminescence from the Honggou section in the northeastern margin of the Tibetan Plateau

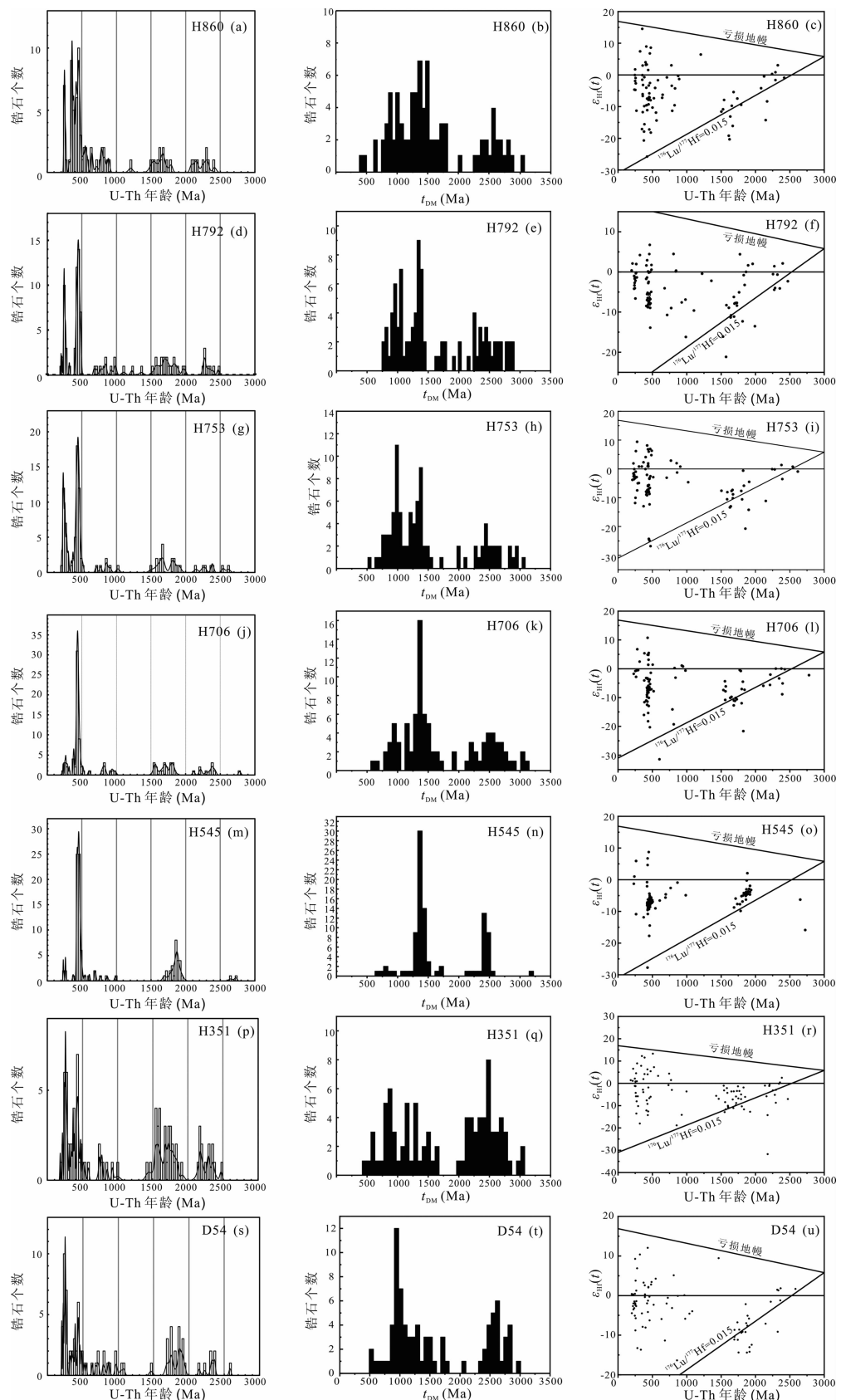
的 $\epsilon_{\text{Hf}}(t)$ 的值 ($-31.4 \sim 0.1$)。

样品 H753 中的锆石的 $^{176}\text{Hf}/^{177}\text{Hf}$ 的值介于 $0.281036 \sim 0.282882$ 之间, Hf 同位素一阶段模式年龄计算后得到的范围是 $549 \sim 3033$ Ma。这些年龄较为集中的分布在三个区间内: $800 \sim 1100$ Ma, $1300 \sim 1600$ Ma 以及 $2200 \sim 2800$ Ma(图 4h)。 t_{DM} 年龄在 $800 \sim 1100$ Ma 之间的锆石, 其 $\epsilon_{\text{Hf}}(t)$ 是 $-3.8 \sim 6.9$; Hf 一阶段模式年龄为 $1300 \sim 1600$ Ma 的锆石的 $\epsilon_{\text{Hf}}(t)$ 值介于 $-13.0 \sim 2.0$ 之间; t_{DM} 年龄为 $2200 \sim 2800$ Ma 的锆石 $\epsilon_{\text{Hf}}(t)$ 值为 $-13.4 \sim 1.4$ 。

样品 H792 中锆石的 $^{176}\text{Hf}/^{177}\text{Hf}$ 的变化范围分别是 $0.281166 \sim 0.282717$, Hf 同位素一阶段模式年龄计算后得到的范围是 $785 \sim 2886$ Ma, 较为集中分布在三个区间, 即 $800 \sim 1100$ Ma, $1300 \sim 1600$ Ma

以及 $2200 \sim 2800$ Ma 范围内(图 4e)。 t_{DM} 年龄为 $800 \sim 1100$ Ma 的锆石 $\epsilon_{\text{Hf}}(t)$ 的值分布在 $-4.2 \sim 6.7$; Hf 一阶段模式年龄为 $1300 \sim 1600$ Ma 的锆石的 $\epsilon_{\text{Hf}}(t)$ 值介于 $-13.9 \sim 0.3$ 之间; t_{DM} 年龄为 $2200 \sim 2800$ Ma 的锆石 $\epsilon_{\text{Hf}}(t)$ 值为 $-16.1 \sim 2.1$ 。

样品 H860 中锆石的 $^{176}\text{Hf}/^{177}\text{Hf}$ 变化范围是 $0.281037 \sim 0.282969$, 计算得到的 Hf 一阶段模式年龄 t_{DM} 在 $399 \sim 3049$ Ma 之间, 这些年龄较为集中的分布在 $800 \sim 1100$ Ma, $1300 \sim 1600$ Ma 以及 $2200 \sim 2800$ Ma 三个区间内(图 4b)。 t_{DM} 年龄在 $800 \sim 1100$ Ma 之间的锆石, 其 $\epsilon_{\text{Hf}}(t)$ 是 $-4.7 \sim 6.8$; Hf 一阶段模式年龄为 $1300 \sim 1600$ Ma 的锆石的 $\epsilon_{\text{Hf}}(t)$ 值介于 $-15.6 \sim 6.4$ 之间; t_{DM} 年龄为 $2200 \sim 2800$ Ma 的锆石 $\epsilon_{\text{Hf}}(t)$ 值为 $-19.2 \sim 3.1$ 。

图 4 红沟剖面碎屑锆石 U-Pb 年龄(Wang Weitao et al., 2017)、Hf 一阶段模式年龄图和 $\epsilon_{Hf}(t)$ 相对于 U-Pb 年龄分布直方图Fig. 4 U-Pb age histograms (Wang Weitao et al., 2017), images of one-stage model ages of Hf and $\epsilon_{Hf}(t)$ vs.

U-Pb ages histograms of detrital zircons from the samples in the Honggou section

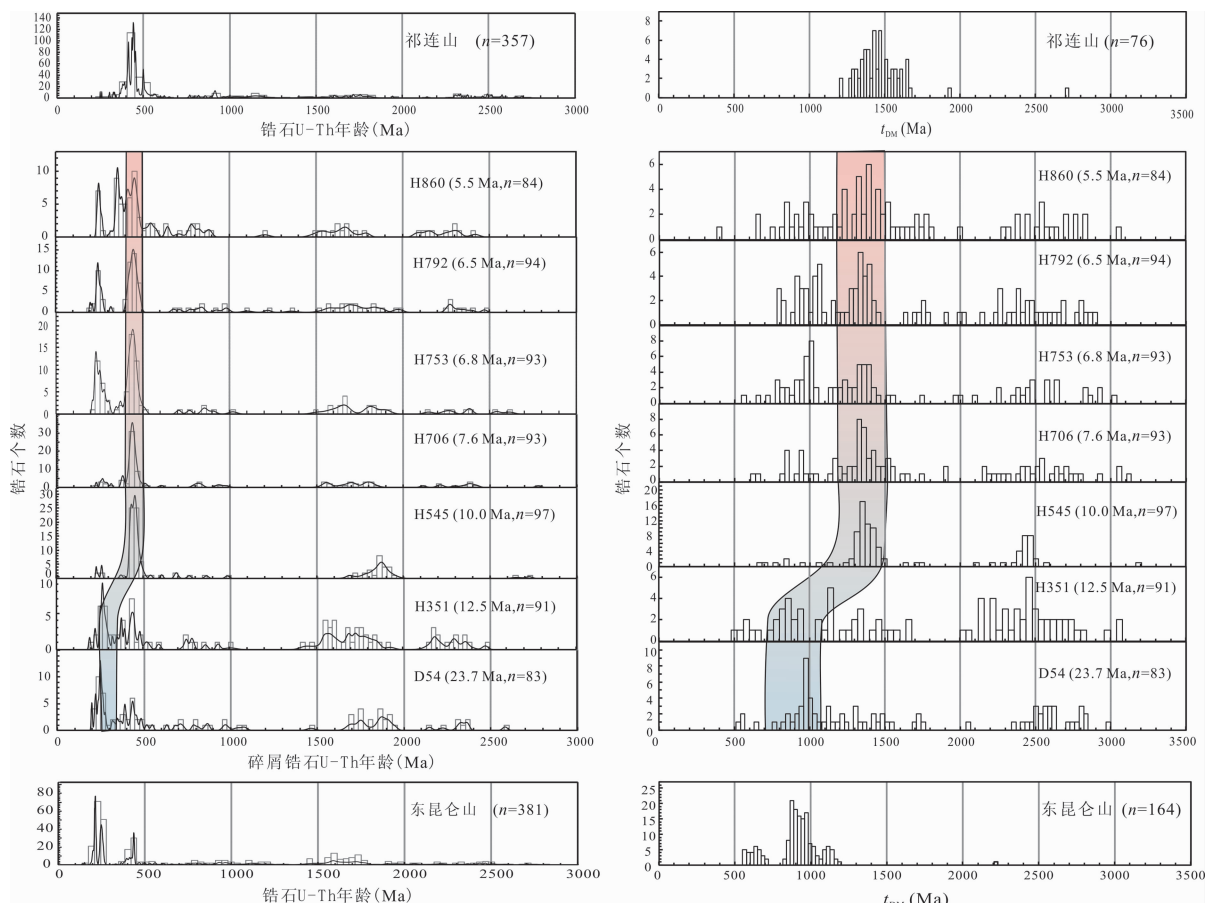


图 5 (a) 红沟剖面碎屑锆石 U-Pb 年龄和可能物源区锆石 U-Pb 年龄(Wang Weitao et al., 2017);
 (b) 红沟剖面 t_{DM} 和可能物源区 t_{DM}

Fig. 5 (a) U-Pb ages from the Honggou section and potential source regions(Wang Weitao et al., 2017);
 (b) t_{DM} data from the Honggou section and potential source regions

4 讨论

柴达木盆地红沟剖面主要以红色砾岩、砂岩、泥岩沉积为特征,尤其是剖面底部路乐河组、下干柴沟组,剖面上部上油砂山组和狮子沟组地层发育了厚层砾岩夹砂岩,沉积环境主要为辫状河相、曲流河相、冲积扇相等沉积环境(Wang Weitao et al., 2017),水动力条件较强,物源区较近,揭示盆地南侧的东昆仑和北侧的祁连山脉可能是柴达木盆地的主要源区。红沟剖面中 23.7 Ma 和 12.5 Ma 的样品,有着相似的锆石 U-Pb 年龄谱(图 5a)、 t_{DM} 以及 Hf 同位素组成特征(图 4),表明盆地从渐新世末到中新世可能有着相同的物源区域;10.5 Ma 之后的样品(H545, H706, H753, H792, H860),具有相似的 U-Pb 年龄谱(图 5a)、Hf 同位素 t_{DM} 以及同位素组成特征(图 4),并且这些特征与这两个样品(D54, H351)存在明显的差异。两个 12.5 Ma 以前的样品

锆石年龄主要峰值在 250Ma,对应的 Hf 一阶段模式年龄在 750~1000 Ma, $\epsilon_{Hf}(t)$ 值介于 -8.8~9.3 之间;剩余五个样品以 440 Ma 为主要峰值年龄,对应的 t_{DM} 为 1250~1500 Ma,且基本占据主导位置,与之相对应的 $\epsilon_{Hf}(t)$ 值(-11.8~6.4),并且绝大部分(94.6%)为负值。这些均反映了红沟剖面新生代沉积源区的改变。

柴达木盆地南缘东昆仑山脉广泛分布二叠纪-三叠纪花岗岩体,锆石 U-Pb 年龄主要集中在 210~280 Ma (Ding Qingfeng et al., 2014; Chen Xuanhua et al., 2012; Xia Rui et al., 2015)。Ding Qingfeng et al. (2014)对东昆仑五龙沟花岗岩锆石 U-Pb 定年得到 244 Ma,对应的 $^{176}\text{Hf}/^{177}\text{Hf}$ 为 0.282520~0.282681, $\epsilon_{Hf}(t)$ 为 -4.9~1.3, Hf 一阶段模式年龄 832~1043 Ma。Xia Rui et al. (2015)对东昆仑山香日德斜长花岗岩的锆石进行了 U-Pb 测年,获得 227 Ma 的结晶年龄, $\epsilon_{Hf}(t)$ 、 $^{176}\text{Hf}/^{177}\text{Hf}$

和 Hf 同位素一阶段模式年龄值分别为 $-8.6 \sim 0$ 、 $0.282403 \sim 0.28265$ 和 $863 \sim 1199$ Ma。上述研究结果表明东昆仑山地区主要出露二叠纪—三叠纪花岗岩,这些花岗岩具有偏负的 $\epsilon_{\text{Hf}}(t)$ 值,Hf 同位素 t_{DM} 介于 $832 \sim 1199$ Ma。这些特征与柴达木盆地红沟剖面 $23.7 \sim 12.5$ Ma 之间,结晶年龄为 $220 \sim 290$ Ma, $^{176}\text{Hf}/^{177}\text{Hf}$ 值 $0.282229 \sim 0.282894$, $\epsilon_{\text{Hf}}(t)$ 绝大部分(81%)介于 $-8.13 \sim 2.67$ 之间,具有较负的 $\epsilon_{\text{Hf}}(t)$ 值, t_{DM} 为 $524 \sim 1456$ Ma 的锆石特征相似,表明柴达木盆地红沟剖面渐新世-中新世沉积物可能主要来自盆地南部的东昆仑山。Mock et al. (1999), Jolivet et al. (2003) 以及 Clark et al. (2010) 通过 $^{40}\text{Ar}-^{39}\text{Ar}$ 以及磷灰石 U-Th/He 年代学的研究也显示东昆仑山在始新世末-渐新世初发生快速蚀顶作用,进一步显示东昆仑山可能是柴达木盆地新生代早期的主要物源区之一。

柴达木盆地北缘祁连山广泛出露古生代花岗岩。Gehrels et al. (2003) 和 Chen Nengsong et al. (2012) 针对祁连山地区花岗岩开展了详细的测年研究,发现祁连山花岗岩年龄主要集中在 $400 \sim 480$ Ma。这与 Yong Yong et al. (2008) 对祁连山董家庄花岗岩体和新店花岗岩体,获得锆石 U-Pb 年龄为 446 ± 1 Ma 和 454 ± 5 Ma、Chen Junlu et al. (2008) 对祁连山什川岩基中二长花岗岩得到 444.6 Ma 和 414.3 Ma、Li Jianfeng et al. (2010) 对祁连山肃北、石包城地区花岗岩获得 415 ± 3 Ma 和 435 ± 4 Ma 的年龄一致。Wang Weitao et al. (2017) 对祁连山锆石 U-Pb 年龄的统计结果也显示锆石 U-Pb 年龄主要分布在 $410 \sim 510$ Ma 之间(图 5a)。Yu Shengyao et al. (2013) 对祁连山和柴北缘的锆石 U-Pb 年龄以及 Hf 同位素组成分析显示该地区锆石 U-Pb 年龄为在 436 Ma, 对应的 $^{176}\text{Hf}/^{177}\text{Hf}$ 在 $0.282100 \sim 0.282290$ 之间, $\epsilon_{\text{Hf}}(t)$ 范围 $-4.7 \sim 2.0$,一阶段模式年龄为 $1400 \sim 1600$ Ma。Yan Zhen et al. (2015) 对化隆地区 $410 \sim 460$ Ma 花岗岩的 Hf 同位素分析表明, $^{176}\text{Hf}/^{177}\text{Hf}$ 和 $\epsilon_{\text{Hf}}(t)$ 值介于 $0.282073 \sim 0.282551$ 和 $-15.3 \sim 2.2$ 之间,一阶段模式年龄为 $1044 \sim 1645$ Ma。由此可见,祁连山地区锆石年龄主要集中在 $400 \sim 500$ Ma, 对应的

$^{176}\text{Hf}/^{177}\text{Hf}$ 在 $0.282073 \sim 0.282551$ 之间, $\epsilon_{\text{Hf}}(t)$ 范围 $-15.3 \sim 2.2$,一阶段模式年龄主要集中在 $1044 \sim 1645$ Ma。这些特征与柴达木盆地红沟剖面 <12 Ma 地层中锆石 U-Pb 年龄集中在 $400 \sim 500$ Ma, $^{176}\text{Hf}/^{177}\text{Hf}$ 介于 $0.281726 \sim 0.282823$, t_{DM} 主要

(75%) 介于 $850 \sim 1500$ Ma,Hf 同位素 $\epsilon_{\text{Hf}}(t)$ 主要(79%)分布在 $-15.4 \sim 4.8$ 的特征高度相似,表明祁连山可能在 ~ 12 Ma 开始快速隆升,成为柴达木盆地的主要物源区。

最新的低温热年代学证据表明,祁连山在 ~ 15 Ma 加速隆升(Yu Jingxing et al., 2019a, 2019b)。宗务隆山的磷灰石裂变径迹数据也表明祁连山在 $\sim 18 \sim 11$ Ma 发生快速剥露事件(Pang Jianzhang et al., 2019)。Zhuang Guangsheng et al. (2019) 在怀头他拉剖面利用碎屑锆石 U-Pb 年龄指出,祁连山在 15.8 Ma 已经抬升,为柴达木盆地提供物源。同时,Wang Xiaoming et al. (2003) 对党和盆地以及 Liu Caicai et al. (2016) 对祁连盆地等祁连山内部盆地的沉积演化也揭示了祁连山在中-晚中新世发生了快速隆升。这些研究与本文红沟剖面锆石物源分析结果一致。

柴达木盆地红沟剖面中存在少量 U-Pb 年龄为 $1600 \sim 1800$ Ma 和 $2200 \sim 2300$ Ma, $^{176}\text{Hf}/^{177}\text{Hf}$ 介于 $0.281089 \sim 0.281800$, $\epsilon_{\text{Hf}}(t)$ 范围 $-20.3 \sim 4.4$ 的锆石。由于柴达木盆地南缘东昆仑山与盆地北缘祁连山均存在少量元古代的地层、岩体或变质岩(Qian Tao et al., 2018),因此,柴达木盆地红沟剖面 $1600 \sim 1800$ Ma 和 $2200 \sim 2300$ Ma 的锆石有可能来源于盆地南缘的东昆仑山或盆地北缘的祁连山。

值得指出的是在柴达木盆地红沟剖面 <7 Ma 的地层中 $200 \sim 300$ Ma, $^{176}\text{Hf}/^{177}\text{Hf}$ 范围 $0.282294 \sim 0.282882$, $\epsilon_{\text{Hf}}(t)$ 介于 $-11.9 \sim 9.4$ 、一阶段模式年龄为 $549 \sim 1399$ Ma 的锆石略有增加。这一时期红沟剖面古流向主要为由北向南(图 2),显示 7 Ma 之后柴达木盆地的主要源区仍然位于盆地北缘,表明盆地早期沉积在柴达木盆地中具有 $200 \sim 300$ Ma 的碎屑锆石可能再次搬运沉积至盆地内部,造成了 <7 Ma 的地层中 $200 \sim 300$ Ma 的碎屑锆石含量增加。Pang Jianzhang et al. (2019) 利用热年代学方法,得到祁连山南部在 7 ± 2 Ma 时再次向南扩展,表明柴达木盆地北缘褶皱-冲断带向盆地内部(向南方向)的扩展是导致柴达木盆地北缘沉积物再循环的主要原因。

新生代以来青藏高原东北缘东昆仑山、祁连山的隆升并非是引起柴达木盆地沉积物源变化的唯一原因,气候变化同样也会导致物源区的风化、剥蚀速率发生改变(Miao Yunfa et al., 2012; Jing Bao et al., 2017),但是祁连山南、北两侧沉积盆地,在中

中新世沉积物源同时的转变,支持构造变形是导致山脉隆升,地貌起伏增大,侵蚀加剧以及柴达木盆地北缘物源变化的主要因素。

5 结论

青藏高原东北缘柴达木盆地红沟剖面发育 25.5~4.8 Ma 的新生代碎屑沉积岩。通过对剖面中砂岩碎屑锆石 U-Pb 年龄与 Hf 同位素组成分析,获得如下结论:

(1) 红沟剖面渐新世至晚中新世(23.7~12.5 Ma)砂岩中存在峰值年龄 250 Ma, $\epsilon_{\text{Hf}}(t)$ 值介于 -8.8~9.3 之间的锆石,其与东昆仑山花岗岩中锆石的年龄、 $\epsilon_{\text{Hf}}(t)$ 值相似,表明东昆仑山在渐新世开始构造隆升、变形,成为新生代柴达木盆地的主要物源区之一。

(2) 晚中新世(10~12 Ma),红沟剖面物源发生显著改变,剖面中碎屑锆石 U-Pb 年龄和 Hf 同位素特征与祁连山花岗岩体的锆石 U-Pb 年龄和 Hf 同位素特征类似,揭示祁连山成为沉积盆地的重要物源区。

(3) 红沟剖面 7 Ma 以来,U-Pb 年龄为 200~300 Ma 的锆石含量的增加可能反映了柴达木盆地北缘褶皱冲断带向盆地内部的扩展,导致了物质的沉积再循环,为祁连山向南不断扩展提供了证据。

致谢:感谢审稿专家给予本文的建设性意见,以及责任编辑对本文的细致审查。对张佳伟博士以及李朝鹏博士的重要指导表示感谢!

References

- An Zhisheng, Kutzbach J E, Prell W L, Porter S C. 2001. Evolution of Asian monsoons and phased uplift of the Himalaya-Tibetan plateau since Late Miocene times. *Nature*, 411 (6833): 62~66.
- Biévre P De, Taylor P D P. 1993. Table of the isotopic compositions of the elements. *International Journal of Mass Spectrometry & Ion Processes*, 123 (2): 149~166.
- Blicherttoft J, Albarède F. 1997. The Lu-Hf isotope geochemistry of chondrites and the evolution of the mantle-crust system. *Earth & Planetary Science Letters*, 148(1-2): 0~258.
- Botysun S, Sepulchre P, Donnadieu Y, Risi C, Licht A, Caves Rugenstein J K. 2019. Revised paleoaltimetry data show low Tibetan Plateau elevation during the Eocene. *Science*, 363 (6430): eaalq1436.
- Chen Junlu, Xu Xueri, Zeng Zuoxun, Xiao Lin, Wang Hongliang, Wang Zongqi, Xiao Shaowen. 2008. Geochemical characters and LA-ICP-MS zircon U-Pb dating constraints on the petrogenesis and tectonic setting of the Shichuan intrusion, east segment of the Central Qilian, NW China. *Acta Petrologica Sinica*, 24(4): 841~854. (in Chinese with English abstract).
- Chen Nengsong, Zhang Lu, Sun Min, Wang Qinyan, Kusky T M. 2012. U-Pb and Hf isotopic compositions of detrital zircons from the paragneisses of the Quanji Massif, NW China: implications for its early tectonic evolutionary history. *Journal of Asian Earth Sciences*, 54~55(4): 110~130.
- Chen Xuanhua, George G, Yin An, Li Li, Jiang Yongbao. 2012. Paleozoic and mesozoic basement magmatism of Eastern Qaidam basin, Northern Qinghai-Tibet Plateau: LA-ICP-MS zircon U-Pb geochronology and its geological significance. *Acta Geologica Sinica*, 86(2): 350~369.
- Chu Nanchin, Taylor R N, Nesbitt R W, Boella R M, Milton J A, German C R, Bayon G, Burton K. 2002. Hf isotope ratio analysis using multi-collector inductively coupled plasma mass spectrometry: an evaluation of isobaric interference corrections. *Journal of Analytical Atomic Spectrometry*, 17 (12): 1567~1574.
- Clark M K, Farley K A, Zheng Dewen, Wang Zhicai, Duvall A R. 2010. Early Cenozoic faulting of the northern Tibetan Plateau margin from apatite (U-Th)/He ages. *Earth & Planetary Science Letters*, 296(1): 78~88.
- Clark M K. 2012. Continental collision slowing due to viscous mantle lithosphere rather than topography. *Nature*, 483 (7387): 74~7.
- Decelles P G, Robinson D M, Zandt G. 2002. Implications of shortening in the Himalayan fold-thrust belt for uplift of the Tibetan Plateau. *Tectonics*, 21(6): 12-12-25.
- Dewey J F, Shackleton R M, Chang Chengfa, Sun Yiyin. 1988. The tectonic evolution of the Tibetan Plateau. *Philosophical Transactions of the Royal Society of London a Mathematical Physical & Engineering Sciences*, 327(1594): 379~413.
- Ding Qingfeng, Jiang Shaoyong, Sun Fengyue. 2014. Zircon U-Pb geochronology, geochemical and Sr-Nd-Hf isotopic compositions of the Triassic granite and diorite dikes from the Wulonggou mining area in the Eastern Kunlun Orogen, NW China: Petrogenesis and tectonic implications. *Lithos*, 205 (9): 266~283.
- Duran L, Fournier M, Massei N, Dupont J P. 1998. Use of Tracing Tests to Study the Impact of Boundary Conditions on the Transfer Function of Karstic Aquifers. *Tectonics*, 17(6): 823~842.
- Duvall A R, Clark M K, Pluijm B A Van D, Li Chuanyou. 2011. Direct dating of Eocene reverse faulting in northeastern Tibet using Ar-dating of fault clays and low-temperature thermochronometry. *Earth & Planetary Science Letters*, 304 (3): 520~526.
- England P, Searle M. 1986. The Cretaceous-Tertiary deformation of the Lhasa Block and its implications for crustal thickening in Tibet. *Tectonics*, 5(1): 1~14.
- Fang Xiaomin, Zhang Weilin, Meng Qingquan, Gao Junping, Wang Xiaoming, King John, Song Chunhui, Shuang Dai, Miao Yunfa. 2007. High-resolution magnetostratigraphy of the Neogene Huaitoutala section in the eastern Qaidam Basin on the NE Tibetan Plateau, Qinghai Province, China and its implication on tectonic uplift of the NE Tibetan Plateau. *Earth & Planetary Science Letters*, 258(1): 293~306.
- Gehrels G E, Yin A, Wang Xiaofeng. 2003. Detrital zircon geochronology of the northeastern Tibetan Plateau. *Geol. soc. amer. bull.*, 115(7): 881~896.
- Guo Z T, Ruddiman W F, Hao Q Z, Wu H B, Qiao Y S, Zhu R X, Peng S Z, Wei J J, Yuan B Y, Liu T S. 2002. Onset of Asian desertification by 22 Myr ago inferred from loess deposits in China. *Nature*, 416(6877): 159.
- Harrison T M, Copeland P, Kidd W S, Yin An. 1992. Raising Tibet. *Science*, 255(5052): 1663~1670.
- Ji Junliang, Zhang Kexin, Clift P D, Zhuang Guangsheng, Song Bowen, Xue Ke, Xu Yadong. 2017. High-resolution magnetostratigraphic study of the Paleogene-Neogene strata in the Northern Qaidam basin: implications for the growth of the Northeastern Tibetan Plateau. *Gondwana Research*, 46: 141.
- Jing Bao, Wang Yadong, Song Chunhui, Ying Feng, Hu Chunhua, Zhong Sirui, Yang Jiwei. 2017. Cenozoic sediment flux in the

- Qaidam Basin, northern Tibetan Plateau, and implications with regional tectonics and climate. *Global and Planetary Change*, 155: 56~69.
- Jolivet M, Brunel M, Seward D, Xu Z, Wu C. 2003. Neogene extension and volcanism in the Kunlun Fault Zone, northern Tibet: New constraints on the age of the Kunlun Fault. *Tectonics*, 22(5): 1052.
- Li Jijun, Wen Shixuan, Zhang Qingsong, Wang Fubao, Zheng Benxing, Li Bingyuan. 1979. A discussion on the period, amplitude and type of the uplift of the Qinghai-Tibet Plateau. *Sci. China*, 22(11): 1314~1328.
- Li Jijun, Fang Xiaomin. 1998. Uplift of the Tibetan Plateau and environmental changes. *Chin. Sci. Bull.* 43 (15): 1568~1574.
- Li Jianfeng, Zhang Zhicheng, Han Baofu. 2010. Geochronology and geochemistry of Early Paleozoic granitic plutons from Subei and Shibaoceng areas, the western segment of Central Qilian and their geological implications. *Acta Petrologica Sinica*, 26(8): 2431~2444. (in Chinese with English abstract).
- Li Qiang, Wang Xiaoming. 2015. Discovery of Neogene beavers (Castoridae, Mammalia) in central Qaidam Basin, and their paleoenvironmental significance. *Quaternary Sciences*, 35(3): 584~595. (in Chinese with English abstract).
- Liu Caicai, Wang Weitao, Zhang Peizhen, Pang Jianzhang, Yu Jingxing. 2016. Magnetostratigraphy and magnetic anisotropy of the Neogene sediments in the Qilian Basin. *Chinese J. Geophys.*, 59 (8): 2965 ~ 2978. (in Chinese with English abstract).
- Miao Yunfa, Herrmann M., Wu Fuli, Yan Xiaoli, Yang Shengl. 2012. What controlled Mid-Late Miocene long-term aridification in Central Asia? -Global cooling or Tibetan Plateau uplift: A review. *Earth-Science Reviews*, 112 (3-4): 155~172.
- Mock C, Arnaud N O, Cantagrel J M. 1999. An early unroofing in northeastern Tibet? Constraints from $^{40}\text{Ar}/^{39}\text{Ar}$ thermochronology on granitoids from the eastern Kunlun range (Qianghai, NW China). *Earth & Planetary Science Letters*, 171(1): 107~122.
- Molnar P, Tapponnier P. 1975. Cenozoic Tectonics of Asia: Effects of a Continental Collision: Features of recent continental tectonics in Asia can be interpreted as results of the India-Eurasia collision. 189(4201): 419~426.
- Molnar P, Stock J M. 2009. Slowing of India's convergence with Eurasia at ~ 10 Ma and its implications for Tibetan mantle dynamics. *Tectonics*, 28(3).
- Nie Junsheng, Ren Xueping, Saylor J, Su Qingda, Horton B, Bush M, Chen Wenhan, Pfaff K. 2019. Magnetic polarity stratigraphy, provenance, and paleoclimate analysis of Cenozoic strata in the Qaidam Basin, NE Tibetan Plateau. *GSA Bulletin*, 132(1-2): 310~320.
- Pang Jianzhang, Yu Jingxing, Zheng Dewen, Wang Weitao, Wang Ying. 2019. Neogene Expansion of the Qilian Shan, North Tibet: Implications for the Dynamic Evolution of the Tibetan Plateau. *Tectonics*, 38(3): 1018~1032.
- Qian Tao, Wang Zongxiu, Liu Yongqing, Liu Shaofeng, Gao Wanli, Li Wangpeng, Hu Junjie, Li Leilei. 2018. Provenance analysis of the Jurassic northern Qaidam Basin: Stratigraphic succession and LA-ICP-MS geochronology. *Scientia Sinica Terra*, 48: 224~242. (in Chinese with English abstract).
- Royden L H, Burchfiel B, Clark, King R W, Wang Erchie, Chen Zhiliang, Feng Shen, Liu Yiping 1997. Surface Deformation and Lower Crustal Flow in Eastern Tibet. *Science*, 276(5313): 788~790.
- Scherer E, Munker C, Mezger K. 2001. Calibration of the lutetium-hafnium clock. *Science*, 293(5530): 683~687.
- Sun Zhiming, Yang Zhenyu, Pei Junling, Ge Xiaohong, Wang Xisheng, Yang Tienshui, Li Weimin, Yuan Sihua. 2005. Magnetostratigraphy of Paleogene sediments from northern Qaidam Basin, China: Implications for tectonic uplift and block rotation in northern Tibetan Plateau. *Earth & Planetary Science Letters*, 237(3): 635~646.
- Tapponnier P, Xu Zhiqin, Roger F, Meyer B, Arnaud N, Wittlinger G, Yang Jingsui. 2001. Oblique Stepwise Rise and Growth of the Tibet Plateau. *Science*, 294 (5547): 1671~1677.
- Valdes P J, Ding Lin, Farnsworth A, Spicer R A, Li Shihu, Tao Su. 2019. Comment on "Revised paleoaltimetry data show low Tibetan Plateau elevation during the Eocene". *Science*, 365 (6459): eaax8474.
- Vervoort J D, Blacherttoft J. 1999. Evolution of the depleted mantle; Hf isotope evidence from juvenile rocks through time. *Geochimica Et Cosmochimica Acta*, 63(3-4): 533~556.
- Wang Weitao, Zheng Wenjun, Zhang Peizhen, Li Qiang, Kirby E, Yuan Daoyang, Zheng Dewen, Liu Caicai, Wang Zhicai, Zhang Huiping, Pang Jianzhang. 2017. Expansion of the Tibetan Plateau during the Neogene. *Nature communications*, 8: 15887.
- Wang Xiaoming, Wang Banyue, Qiu Zhanxiang, Xie Guangpu, Xie Junyi, Downs W, Qiu Zhuding, Deng Tao. 2003. Danghe area (western Gansu, China) biostratigraphy and implications for depositional history and tectonics of northern Tibetan Plateau. *Earth and Planetary Science Letters*, 208(3-4): 253~269.
- Wu Cailai, Yang Jingsui, Xu Zhiqin, Wooden J L, Ireland T, Li Haibing, Shi Rendneg, Meng Fancong, Chen Songyong, Persing H, Meibom A. 2004. Granitio magmatism on the Early Paleozoic UHP belt of northern Qaidam, NW China. *Acta Geologica Sinica*, 78 (5): 658~674 (in Chinese with English abstract).
- Wu Fuyuan, Yang Yueheng, Xie Liewen, Yang Jinhui, Xu Ping. 2006. Hf isotopic compositions of the standard zircons and baddeleyites used in U-Pb geochronology. *Chemical Geology*, 234(1): 105~126.
- Wu Fuyuan, Li Xianhua, Zheng Yongfei, Gao Shan. 2007. Lu-Hf isotopic systematics and their applications in petrology. *Acta Petrologica Sinica*, 23(2): 185~220 (in Chinese with English abstract).
- Xia Rui, Wang Changming, Min Qing, Deng Jun, Carranza Emmanuel John M., Li Wenliang, Guo Xiaodong, Ge Liangsheng, Yu Wanqiang. 2015. Molybdenite Re-Os, zircon U-Pb dating and Hf isotopic analysis of the Shuangqing Fe-Pb-Zn-Cu skarn deposit, East Kunlun Mountains, Qinghai Province, China. *Ore Geology Reviews*, 66: 114~131.
- Xie Liewen, Zhang Yanbin, Zhang Huihuang, Sun Jinfeng, Wu Fuyuan. 2008. In situ simultaneous determination of trace elements, U-Ph and Lu-Hf isotopes in zircon and baddeleyite. *Chinese Science Bulletin*, 53(02): 220~228.
- Yan Zhen, Aitchison J, Fu Changlei, Guo Xianqing, Niu Manlan, Xia Wenjing, Li Jiliang. 2015. Hualong Complex, South Qilian terrane: U-Pb and Lu-Hf constraints on Neoproterozoic micro-continental fragments accreted to the northern Proto-Tethyan margin. *Precambrian Research*, 266: 65~85.
- Yin An, Dang Yuqi, Zhang Min, Chen Xuanhua, Mcritivette M W. 2008. Cenozoic tectonic evolution of the Qaidam basin and its surrounding regions (Part 3): Structural geology, sedimentation, and regional tectonic reconstruction. *Geological Society of America Bulletin*, 120(7-8): 813~846.
- Yin An, Rumelhart P E, Butler R, Cowgill E, Harrison T M, Foster D A, Ingersoll R V, Zhang Qing, Zhou Xianqiang, Wang Xiaofeng, Hanson A, Raza A. 2002. Tectonic history of the Altyn Tagh fault system in northern Tibet inferred from Cenozoic sedimentation. *GSA Bulletin*, 114(10): 1257~1295.
- Yin An. 2007. Whence the Mountains? Inquiries into the Evolution of Orogenic Systems: A Volume in Honor of Raymond A. Price Volume 433 | Cenozoic tectonic evolution of Qaidam basin and its surrounding regions (part 2): Wedge tectonics in southern Qaidam basin and the Eastern Kunlun Range. : 369~390.
- Yong Yong, Xiao Wenjiao, Yuan Chao, Yan Zhen, Li Jiliang.

2008. Geochronology and geochemistry of Paleozoic granitic plutons from the eastern Central Qilian and their tectonic implications. *Acta Petrologica Sinica*, 24(4): 855~866. (in Chinese with English abstract).
- Yu Jingxing, Pang Jianzhang, Wang Yizhou, Zheng Dewen, Liu Caicai, Wang Weitao, Li Youjuan, Li Chaopeng, Xiao Lin. 2019. Mid-Miocene uplift of the northern Qilian Shan as a result of the northward growth of the northern Tibetan Plateau. *Geosphere*, 15(2): 423~432.
- Yu Jingxing, Zheng Dewen, Pang Jianzhang, Wang Yizhou, Fox Matthew, Vermeesch P, Li Chaopeng, Xiao Lin, Hao Yuqi, Wang Ying. 2019. Miocene Range Growth Along the Altyn Tagh Fault: Insights From Apatite Fission Track and (U-Th)/He Thermochronometry in the Western Danghanan Shan, China. *Journal of Geophysical Research: Solid Earth*, 0(0).
- Yu Shengyao, Zhang Jianxin, Del R P G, Zhao Xilin, Hou Kejun, Gong Jianghua, Li Yunshuai. 2013. The Grenvillian orogeny in the Altun-Qilian-North Qaidam mountain belts of northern Tibet Plateau: Constraints from geochemical and zircon U-Pb age and Hf isotopic study of magmatic rocks. *Journal of Asian Earth Sciences*, 73(8): 372~395.
- Yuan Daoyang, Ge Weipeng, Chen Zhenwei, Li Chuanyou, Wang Zhicai, Zhang Huiping, Zhang Peizhen, Zheng Dewen, Zheng Wenjun, Craddock W H. 2013. The growth of northeastern Tibet and its relevance to large-scale continental geodynamics: A review of recent studies. *Tectonics*, 32(5): 1358~1370.
- Zhou Jianxun, Xu Fengyin, Wang Tiecheng, Cao Aifeng, Yin Chengming. 2006. Cenozoic deformation history of the Qaidam Basin, NW China: Results from cross-section restoration and implications for Qinghai Tibet Plateau tectonics. *Earth & Planetary Science Letters*, 243(1): 195~210.
- Zhuang Guangsheng, Zhang Yige, Hourigan J, Ritts B, Hren M, Hou Mingqiu, Wu Minghao, Kim B. 2019. Microbial and Geochronologic Constraints on the Neogene Paleotopography of Northern Tibetan Plateau. *Geophysical Research Letters*, 46(3): 1312~1319.
- Zhang Peizhen, Molnar P, Downs W R. 2001. Increased sedimentation rates and grain sizes 2~4 Myr ago due to the influence of climate change on erosion rates. *Nature*, 410(6831): 891~897.
- Zhang Peizhen, Zheng Dewen, Yin Gongming, Yuan Daoyang, Zhang Guangliang, Li Chuanyou, Wang Zhicai. 2006. Discussion on late Cenozoic growth and rise of northeastern margin of the Tibetan Plateau. *Quat. Sci.*, 26(1): 5~13. (in

Chinese with English abstract).

参 考 文 献

- 陈隽璐,徐学义,曾佐勋,肖林,王洪亮,王宗起,肖绍文. 2008. 中祁连东段什川杂岩基的岩石化学特征及年代学研究. *岩石学报*, 24(4): 841~854.
- 李吉均,方小敏. 1998. 青藏高原隆起与环境变化研究. *科学通报*, 43(15): 1568~1574.
- 李吉均,文世宣,张青松,王富葆,郑本兴,李炳元. 1979. 青藏高原隆起的时代、幅度和形式的探讨. *中国科学*, (6): 78~86.
- 李建锋,张志诚,韩宝福. 2010. 中祁连西段肃北、石包城地区早古生代花岗岩年代学、地球化学特征及其地质意义. *岩石学报*, 26(8): 2431~2444.
- 李强,王晓鸣. 2015. 青海柴达木盆地新近纪河狸化石及其古环境意义. *第四纪研究*, 35(3): 584~595.
- 刘彩彩,王伟涛,张培震,庞建章,俞晶星. 2016. 祁连盆地第三纪沉积物磁性地层和岩石磁组构初步研究. *地球物理学报*, 59(8): 2965~2978.
- 钱涛,王宗秀,柳永清,刘少峰,高万里,李王鹏,胡俊杰,李磊磊. 2018. 柴达木盆地北缘侏罗纪沉积物源分析:地层序列及 LA-ICP-MS 年代学信息. *中国科学: 地球科学*, 48(02): 224~242.
- 青海省地层表编写小组. 1983. 西北地区区域地层表·青海省分册.
- 青海省地质矿产局. 1991. 青海省区域地质志. 北京: 地质出版社.
- 吴才来,杨经绥,许志琴,Wooden J L, Ireland T, 李海兵,史仁灯,孟繁聪,陈松永, PERSING Harold, MEIBOM Anders. 2004. 柴达木盆地北缘古生代超高压带中花岗岩岩浆作用. *地质学报*, 78(5): 658~674.
- 吴福元,李献华,郑永飞,高山. 2007. Lu-Hf 同位素体系及其岩石学应用. *岩石学报*, 23(02): 185~220.
- 谢烈文,张艳斌,张辉煌,孙金凤,吴福元. 2008. 锆石/斜锆石 U-Pb 和 Lu-Hf 同位素以及微量元素成分的同时原位测定. *科学通报*, 53(02): 220~228.
- 雍拥,肖文交,袁超,周臻,李继亮. 2008. 中祁连东段古生代花岗岩的年代学、地球化学特征及其大地构造意义. *岩石学报*, 24(4): 233~244.
- 张培震,郑德文,尹功明,袁道阳,张广良,李传友,王志才. 2006. 有关青藏高原东北缘晚新生代扩展与隆升的讨论. *第四纪研究*, 26(01): 7~15.

Provenance identification for the Honggou section of the Qaidam basin in the northeastern margin of the Tibetan Plateau and its tectonic significance

LIU Kang¹⁾, WANG Weitao^{* 2)}, ZHAO Xudong¹⁾, PANG Jianzhang¹⁾, YU Jingxing¹⁾

1) State Key Laboratory of Earthquake Dynamics, Institute of Geology, China Earthquake Administration, Beijing, 100029;

2) School of Earth Sciences and Engineering, Sun Yat-Sen University, Guangzhou, 510275

* Corresponding author: taotaowang@126.com

Abstract

Located in the northeastern corner of the Tibetan Plateau, the Honggou section deposits comprise thick Cenozoic strata, the provenance analysis of which provides an exceptional opportunity to study the uplift and denudation history of the potential source regions for the Qaidam Basin and the deformational processes in the northeast Tibetan Plateau. Here, the detrital zircon U-Pb ages and Hf isotopic compositions are used to trace the source changes for the Late Oligocene-Pliocene strata based on the magnetostratigraphy of the Honggou section. Most of the U-Pb ages of the detrital zircon from 23.7~12.5 Ma are concentrated within the intervals of 220~290 Ma, the $\epsilon_{\text{Hf}}(t)$ is concentrated at -13.53~9.27, and the range of the $t_{\text{DM(Hf)}}$ is 524~1456 Ma. For zircons whose U-Th age are greater than 300 Ma, the $\epsilon_{\text{Hf}}(t)$ is between -31.77 and 13.44, of which 76.3% is negative, and the Hf isotope t_{DM} is between 484 and 3727 Ma. The zircon U-Pb ages of sandstone samples from 12.5~7.6 Ma are mainly concentrated at 400~500 Ma (peak ~440 Ma), 90% of the $\epsilon_{\text{Hf}}(t)$ value (-27.75~10.75) is negative, Hf isotope one-stage model age is between 615~2115 Ma. Sandstone samples of 6.8~5.5 Ma, zircon U-Pb age is mainly distributed at 400~500 Ma, the $\epsilon_{\text{Hf}}(t)$ value is ranging from -26.8 to 8.97, and the t_{DM} is between 668~2093 Ma, but the zircon ages of 220~290 Ma increase significantly, having $\epsilon_{\text{Hf}}(t)$ values ranging from -11.86 to 9.42, Hf one-stage model age range is 549~1399 Ma. Comparing these with neighboring tectonic units, we found that Hf isotopic compositions of zircon whose populations are at 220~290 Ma have affinity with the East Kunlun Shan, while the Hf isotopic composition of 400~500 Ma zircon is similar to South Qilian Shan. These features reveal that the East Kunlun Shan began to deform and become the main source region of the Qaidam Basin at 24 Ma. The southward expansion of the Qilian Shan is at ~12 Ma, providing detrital materials for the Qaidam Basin and becoming the tectonic and geomorphic margin along the Tibetan Plateau.

Key words: the Qaidam basin; Honggou section; Hf isotopic composition; northeastern margin of Tibetan Plateau

续表 1

Sample	Th	U	Th/U	age (Ma)	1σ	$^{176}\text{Yb}/^{177}\text{Hf}$	$^{176}\text{Lu}/^{177}\text{Hf}$	$^{176}\text{Hf}/^{177}\text{Hf}$	2σ	$^{176}\text{Hf}/^{177}\text{Hf}_{\text{i}}$	$\epsilon_{\text{Hf}}(0)$	$\epsilon_{\text{Hf}}(t)$	$t_{\text{DM}}(\text{Ma})$	$f_{\text{Lu/Hf}}$
H860 64	522	395	1.32	424	9	0.009825	0.000322	0.282196	0.000016	0.282194	-20.4	-11.1	1462	-0.99
H860 65	49	259	0.19	465	9	0.001174	0.000036	0.282411	0.000015	0.282409	-12.8	-2.5	1158	-1.00
H860 66	58	138	0.42	352	8	0.024255	0.001096	0.282971	0.000019	0.282969	7.0	14.5	399	-0.97
H860 67	72	542	0.13	890	16	0.032871	0.001076	0.282197	0.000015	0.282195	-20.3	-1.3	1491	-0.97
H860 68	95	141	0.67	256	9	0.014112	0.000544	0.282588	0.000016	0.282586	-6.5	-1.0	928	-0.98
H860 70	107	237	0.45	1792	21	0.004505	0.000156	0.281382	0.000019	0.281380	-49.2	-9.4	2554	-1.00
H860 71	123	510	0.24	581	11	0.017194	0.000678	0.282370	0.000019	0.282368	-14.2	-1.7	1235	-0.98
H860 72	267	418	0.64	245	5	0.019853	0.000748	0.282623	0.000019	0.282621	-5.3	0.0	885	-0.98
H860 73	70	117	0.60	438	10	0.026222	0.000953	0.282551	0.000020	0.282549	-7.8	1.6	991	-0.97
H860 74	6	333	0.02	432	9	0.001070	0.000039	0.282289	0.000021	0.282287	-17.1	-7.6	1325	-1.00
H860 75	755	1052	0.72	268	5	0.071683	0.002431	0.282298	0.000017	0.282296	-16.7	-11.3	1399	-0.93
H860 76	83	98	0.85	2148	28	0.017831	0.000665	0.281039	0.000019	0.281037	-61.3	-14.3	3049	-0.98
H860 77	231	483	0.48	454	9	0.029934	0.001091	0.282292	0.000017	0.282290	-17.0	-7.3	1358	-0.97
H860 78	18	24	0.78	1633	64	0.005238	0.000207	0.281381	0.000017	0.281379	-49.2	-13.1	2560	-0.99
H860 79	45	509	0.09	477	9	0.004344	0.000154	0.281962	0.000014	0.281960	-28.6	-18.2	1774	-1.00
H860 80	25	550	0.05	552	11	0.011341	0.000374	0.282096	0.000013	0.282094	-23.9	-11.9	1601	-0.99
H860 81	72	202	0.36	424	9	0.035989	0.001321	0.282308	0.000017	0.282306	-16.4	-7.5	1344	-0.96
H860 82	89	450	0.20	540	10	0.027354	0.000976	0.282329	0.000016	0.282327	-15.7	-4.1	1302	-0.97
H860 83	156	289	0.54	649	13	0.032580	0.001122	0.282204	0.000014	0.282202	-20.1	-6.3	1482	-0.97
H860 84	41	516	0.08	444	9	0.007229	0.000246	0.282235	0.000015	0.282233	-19.0	-9.3	1406	-0.99
H860 85	10	552	0.02	459	9	0.007131	0.000251	0.282287	0.000014	0.282285	-17.2	-7.1	1335	-0.99
H860 86	154	260	0.60	1205	30	0.084497	0.002950	0.282266	0.000026	0.282264	-17.9	6.4	1467	-0.91
H860 88	93	282	0.33	443	10	0.054555	0.001915	0.282290	0.000019	0.282288	-17.1	-7.9	1392	-0.94
H860 89	51	242	0.21	1504	35	0.005892	0.000185	0.281505	0.000022	0.281503	-44.8	-11.6	2391	-0.99
H860 90	168	238	0.71	376	9	0.018140	0.000770	0.281959	0.000020	0.281957	-28.8	-20.7	1807	-0.98
H860 92	88	217	0.41	477	10	0.020495	0.000901	0.282726	0.000020	0.282724	-1.6	8.6	744	-0.97
H860 93	229	479	0.48	456	9	0.022679	0.000874	0.282331	0.000021	0.282329	-15.6	-5.8	1295	-0.97
H860 94	24	219	0.11	561	13	0.005949	0.000227	0.282019	0.000022	0.282017	-26.6	-14.4	1700	-0.99
H860 95	250	117	2.14	453	13	0.030927	0.001097	0.282302	0.000021	0.282300	-16.6	-7.0	1344	-0.97
H860 96	204	738	0.28	642	13	0.043395	0.001517	0.282186	0.000025	0.282184	-20.7	-7.2	1523	-0.95
H860 97	82	659	0.12	412	8	0.025700	0.000937	0.282409	0.000017	0.282407	-12.8	-4.0	1189	-0.97
H860 98	23	53	0.44	1528	49	0.011120	0.000411	0.281518	0.000021	0.281516	-44.4	-10.8	2388	-0.99
H860 99	272	469	0.58	248	5	0.033806	0.001401	0.282570	0.000019	0.282568	-7.1	-1.9	975	-0.96